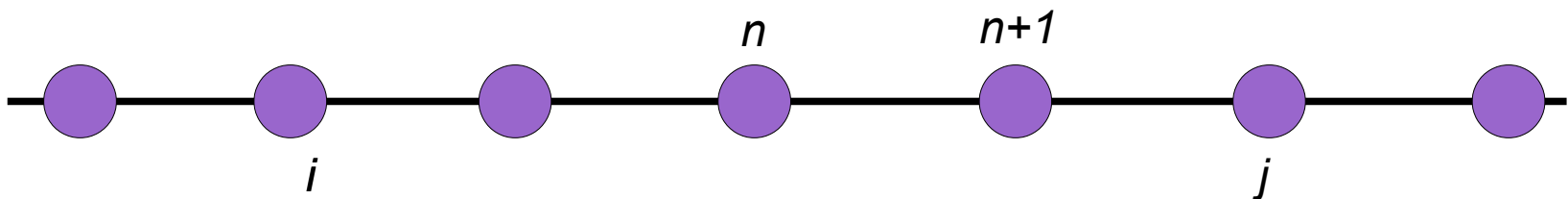


В.Н.Глазков
«Физика низкоразмерных систем»
слайды к лекции 8

Одномерные спиновые системы 1:
Изинговская и XY-модели.

Гамильтониан одномерной цепочки



$$\hat{H} = \sum_{\langle i, j \rangle} J_{ij} (\hat{\vec{S}}_i \cdot \hat{\vec{S}}_j) = \sum_{\langle i, j \rangle} J_{ij} \left(\hat{S}_i^z \hat{S}_j^z + \frac{1}{2} (\hat{S}_i^+ \hat{S}_j^- + \hat{S}_i^- \hat{S}_j^+) \right) \text{ гейзенберговская модель}$$

$$\hat{H} = J \sum_n \left(\hat{S}_n^z \hat{S}_{n+1}^z + \frac{1}{2} (\hat{S}_n^+ \hat{S}_{n+1}^- + \hat{S}_n^- \hat{S}_{n+1}^+) \right) \text{ взаимодействие ближайших соседей}$$

$$\hat{H} = J \sum_n \left(\Delta \hat{S}_n^z \hat{S}_{n+1}^z + \frac{1}{2} (\hat{S}_n^+ \hat{S}_{n+1}^- + \hat{S}_n^- \hat{S}_{n+1}^+) \right) \text{ XXZ-модель}$$



$\Delta=1$ гейзенберговский
 $\Delta=0$ XY-модель
 $|\Delta| \gg 1$ изинговский

НО:

спиновый вектор остаётся трёхмерным

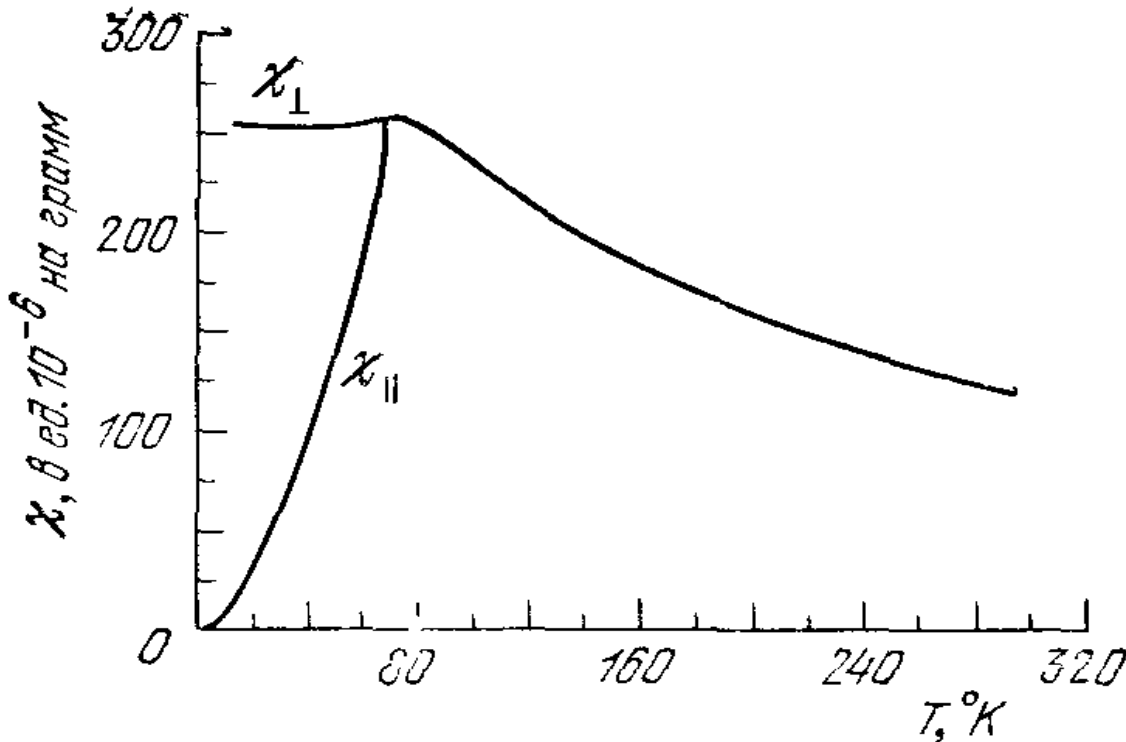
Классический антиферромагнетик: напоминание.

$$E = \sum_{\langle ij \rangle} J_{ij} (\vec{S}_i \cdot \vec{S}_j) - g \mu_B \left(\vec{H} \cdot \sum_i \vec{S}_i \right)$$

закон Кюри-Вейса,
переход в АФМ состояние
при $T \sim \Theta$

$$\vec{m} = \chi_p \vec{H}_{eff} = \chi_p \left(\vec{H} - \sum_j \frac{J_{ij}}{g \mu_B} \langle \vec{S}_j \rangle \right) = \frac{g^2 \mu_B^2 S(S+1)}{3T} \left(\vec{H} - \vec{m} \sum_j \frac{J_{ij}}{(g \mu_B)^2} \right)$$

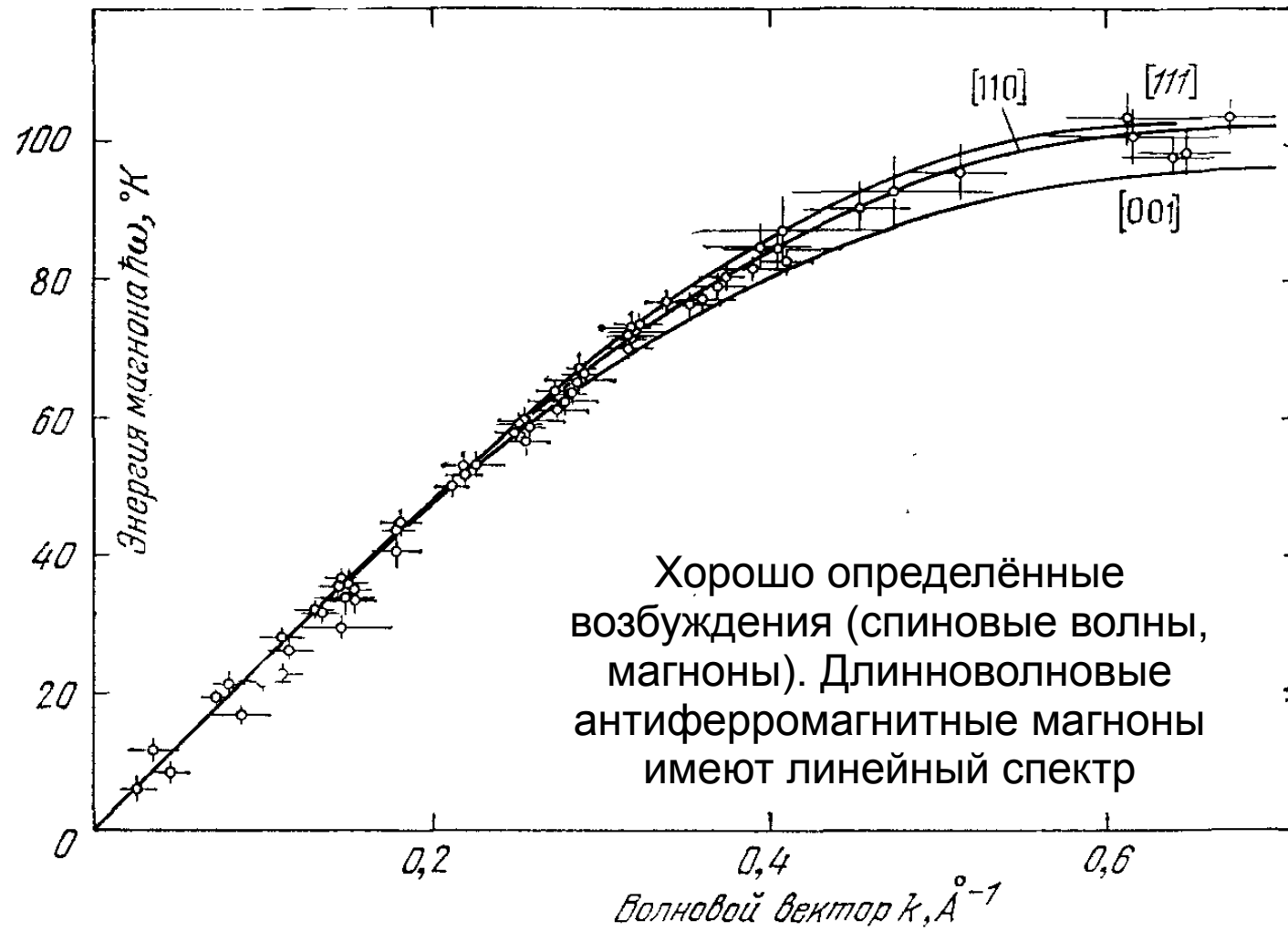
$$\chi_{AFM} = \frac{g^2 \mu_B^2 S(S+1)/3}{T + \frac{S(S+1)}{3} \sum_j J_{ij}} = \frac{C}{T + \Theta}$$



Магнитная восприимчивость антиферромагнетика MnF2 вдоль и перпендикулярно тетрагональной оси. Из книги Киттеля

Классический антиферромагнетик: спектр возбуждений

$$\hbar \omega = 2 J S |\sin ka|$$



Закон дисперсии для магнонов в простом кубическом антиферромагнетике RbMnF_3 , установленный по данным неупругого рассеяния нейтронов при температуре 4.2К. Из книги Киттеля

XXZ-модель: предел изинговского антиферромагнетика.

$$\hat{H} = J \sum_n \left(\Delta \hat{S}_n^z \hat{S}_{n+1}^z + \frac{1}{2} (\hat{S}_n^+ \hat{S}_{n+1}^- + \hat{S}_n^- \hat{S}_{n+1}^+) \right)$$

$$\Delta > 1$$

теория возмущений при $\Delta \gg 1$

$$\psi_0 = |\dots + - + - + - \dots\rangle$$

$$\psi_1 = |\dots + - \overset{\uparrow}{+} - \overset{\uparrow}{-} + - + \dots\rangle = |n + 1/2\rangle$$

n $n+1$

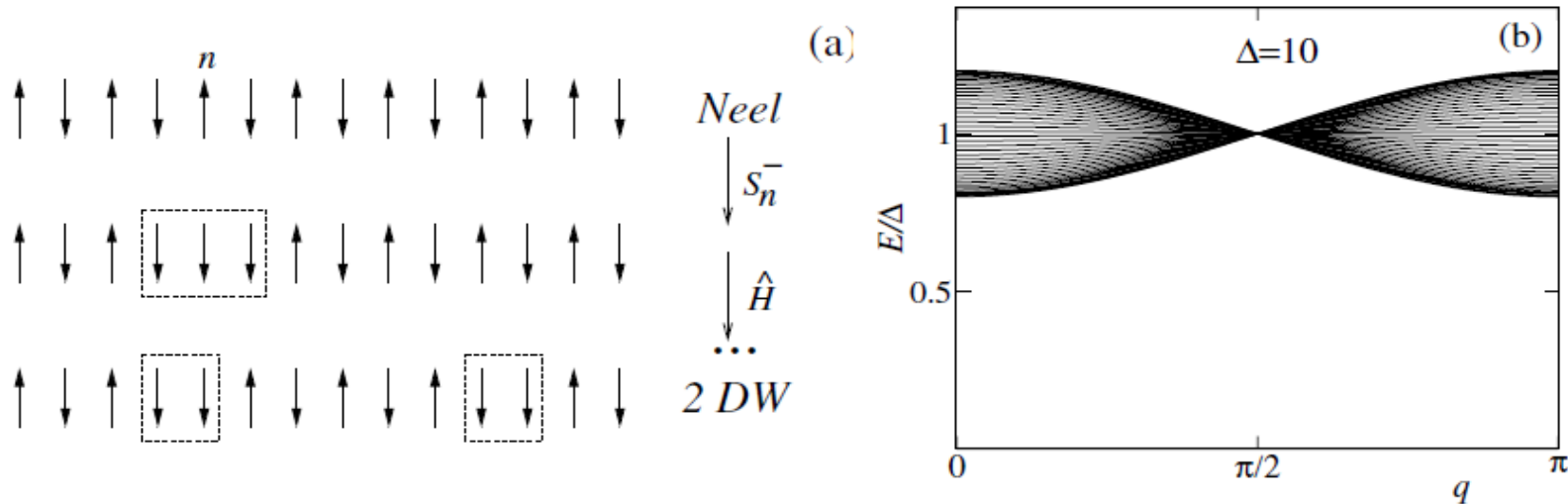
$$\hat{H} |n + 1/2\rangle = J \Delta \sum_p \hat{S}_p^z \hat{S}_{p+1}^z |n + 1/2\rangle + \frac{J}{2} \sum_p (\hat{S}_p^+ \hat{S}_{p+1}^- + \hat{S}_p^- \hat{S}_{p+1}^+) |n + 1/2\rangle$$

изменяет волновую функцию

$$\psi_k = A \sum_{p=1}^N e^{i(p+1/2)k} |p + 1/2\rangle$$

$$\epsilon(k) = \frac{J \Delta}{2} + J \cos 2k$$

Изинговский предел XXZ модели: спектр возбуждений



Слева: возникновение "магнонного" состояния при перевороте одного спина и его преобразование в две доменные стенки под действием XY-части гамильтониана. Справа: спектр возбуждений с двухчастичным континуумом в XXZ модели с параметром $\Delta=10$.

H.J.Mikeska and A.K.Kolezhuk, One-Dimensional Magnetism, Lect. Notes Phys. , 645, 1-83 (2004)

$$E(K) = \epsilon \left(\frac{K}{2} + \Phi \right) + \epsilon \left(\frac{K}{2} - \Phi \right) = J \Delta + 2 J \cos K \cos 2 \Phi$$

$$\frac{dN_{\text{cocm}}}{dE} = \frac{dN_{\text{cocm}}}{d\Phi} \left| \frac{d\Phi}{dE} \right| = \frac{N}{\pi} \frac{1}{4 J |\cos K| |\sin 2 \Phi|}$$

XY-модель.

$$\hat{H}_{XY} = \frac{J}{2} \sum_{i=1}^N \left(\hat{S}_i^+ \hat{S}_{i+1}^- + \hat{S}_i^- \hat{S}_{i+1}^+ \right), \quad N+1 \equiv 1$$

$\psi_0 = | \dots \text{---} \dots \rangle$ собственная функция (но заведомо не основное состояние), «вакуум»

$$S_z = -N/2 + 1$$

$$\psi_k = \frac{1}{\sqrt{N}} \sum_n e^{ikna} \hat{S}_n^+ \psi_0$$

$$\hat{S}_z \psi_k = \left(\sum_m \hat{S}_m^z \right) \psi_k = \sum_{m,n} \frac{1}{\sqrt{N}} e^{ikna} \hat{S}_m^z \hat{S}_n^+ \psi_0 = \sum_{m,n} \frac{1}{\sqrt{N}} e^{ikna} \left(-\frac{1}{2} + \delta_{mn} \right) \hat{S}_n^+ \psi_0 = \left(-\frac{N}{2} + 1 \right) \psi_k$$

$$\sum_m \hat{S}_m^+ \hat{S}_{m+1}^- \psi_k = \sum_{m,n} \frac{1}{\sqrt{N}} e^{ikna} \hat{S}_m^+ \hat{S}_{m+1}^- \hat{S}_n^+ \psi_0 = \sum_{m,n} \frac{1}{\sqrt{N}} e^{ikna} \delta_{n,m+1} \hat{S}_m^+ \psi_0 = e^{ika} \psi_k$$

Энергия состояния с одной «частицей» над «вакуумом»

$$E_k = J \cos(ka)$$

XY-модель. Построение двухчастичного состояния.

$$\psi'_{k,k'} = A \sum_{n,n'} e^{ikna} e^{ik'n'a} \hat{S}_n^+ \hat{S}_{n'}^+ \psi_0$$



Такой набор волновых функций избыточен и не ортогонален.

$$\psi_{k,k'} = \frac{1}{2} \sum_{n \neq n'} f_{nn'} \hat{S}_n^+ \hat{S}_{n'}^+ \psi_0 = \sum_{n > n'} f_{nn'} \hat{S}_n^+ \hat{S}_{n'}^+ \psi_0 = \sum_{n < n'} f_{nn'} \hat{S}_n^+ \hat{S}_{n'}^+ \psi_0$$



$$\psi_{k,k'} = \begin{cases} A \sum_{n,n' > n} [e^{i(kna+k'n'a)} - e^{i(kn'a+k'na)}] \hat{S}_n^+ \hat{S}_{n'}^+ \psi_0 = A \sum_{n,n' > n} \begin{vmatrix} e^{ikna} & e^{ik'na} \\ e^{ikn'a} & e^{ik'n'a} \end{vmatrix} \hat{S}_n^+ \hat{S}_{n'}^+ \psi_0 \\ -A \sum_{n,n' < n} [e^{i(kna+k'n'a)} - e^{i(kn'a+k'na)}] \hat{S}_n^+ \hat{S}_{n'}^+ \psi_0 \end{cases}$$

$$\psi_{k,k'} = A \sum_{\langle n,n' \rangle} e_{n,n'} \begin{vmatrix} e^{ikna} & e^{ik'na} \\ e^{ikn'a} & e^{ik'n'a} \end{vmatrix} \hat{S}_n^+ \hat{S}_{n'}^+ \psi_0$$

$e_{n,n'} = +1$, если $n' > n$
 $e_{n,n'} = -1$, если $n' < n$

XУ-модель. Свойства двухчастичной волновой функции.

$(n, n') = (0, 1) \longleftrightarrow (N, 1)$ одна и та же пара спинов

$$\begin{vmatrix} 1 & 1 \\ e^{ika} & e^{ik'a} \end{vmatrix} = \begin{vmatrix} e^{ikNa} & e^{ik'Na} \\ e^{ika} & e^{ik'a} \end{vmatrix} \quad \text{должны быть равны}$$

$$k, k' = \frac{\pi}{Na} (2p + 1)$$

$$E(k_1, k_2) = J(\cos(k_1 a) + \cos(k_2 a))$$

k и k' должны различаться

XY-модель. Обобщение на случай многих частиц.

$$\Psi_{k_1, k_2, \dots} = C \sum_{n_1, n_2, \dots} F_{k_1, k_2, \dots}^{n_1, n_2, \dots} \hat{S}_{n_1}^+ \hat{S}_{n_2}^+ \dots \Psi_0$$

$$F_{k_1, k_2, \dots}^{n_1, n_2, \dots} = e_{n_1, n_2, \dots} \begin{vmatrix} e^{ik_1 n_1 a} & e^{ik_2 n_1 a} & \dots \\ e^{ik_1 n_2 a} & e^{ik_2 n_2 a} & \dots \\ \dots & \dots & \dots \end{vmatrix}$$

$$E = J \sum_{i=1}^n \cos(k_i a)$$

все k_i различные

условия квантования для n -частичного состояния:

$$\text{чётное } n \quad k_i = \frac{\pi(2p_i + 1)}{Na}$$

$$\text{нечётное } n \quad k_i = \frac{\pi 2p_i}{Na}$$

$$E = J \sum_{i=1}^n \cos\left(\frac{\pi}{N} \begin{pmatrix} 2p_i \\ 2p_i + 1 \end{pmatrix}\right)$$

Энергия основного состояния XY-модели.

$$E = J \sum_{i=1}^n \cos \left(\frac{\pi}{N} \left(2p_i \right) \right) \quad S_z = 0 \quad \longleftrightarrow \quad N/2 \text{ частиц}$$

НУЖНО: подобрать набор различных чисел p_i в количестве $N/2$ штук, обеспечивающий минимум энергии

$$\frac{\pi}{2} \leq ka \leq \frac{3\pi}{2}$$
$$\frac{N}{4} \leq \left(p + 1/2 \right) \leq \frac{3N}{4}$$

$$E = J \sum_{p=N/4}^{3N/4} \cos \left(\frac{2\pi}{N} p \right) = \frac{JN}{2\pi} \int_{\pi/2}^{3\pi/2} \cos x \, dx = -\frac{JN}{\pi} \approx -0.318 NJ$$

Вторичное квантование XY-модели: бозевские или фермиевские квазичастицы?

$$b_i^+ \Leftrightarrow \hat{S}_i^+, \quad b_i \Leftrightarrow \hat{S}_i^-$$

+ условие сильного отталкивания
(hard core bosons)

$$\hat{S}_i^z = b_i^+ b_i - \frac{1}{2}$$

$$\hat{S}_n^+ = c_n^+ \exp\left(i\pi \sum_{p=1}^{n-1} c_p^+ c_p\right)$$

нелокальное преобразование
Йордана-Вигнера

$$\hat{S}_n^z = c_n^+ c_n - \frac{1}{2}$$

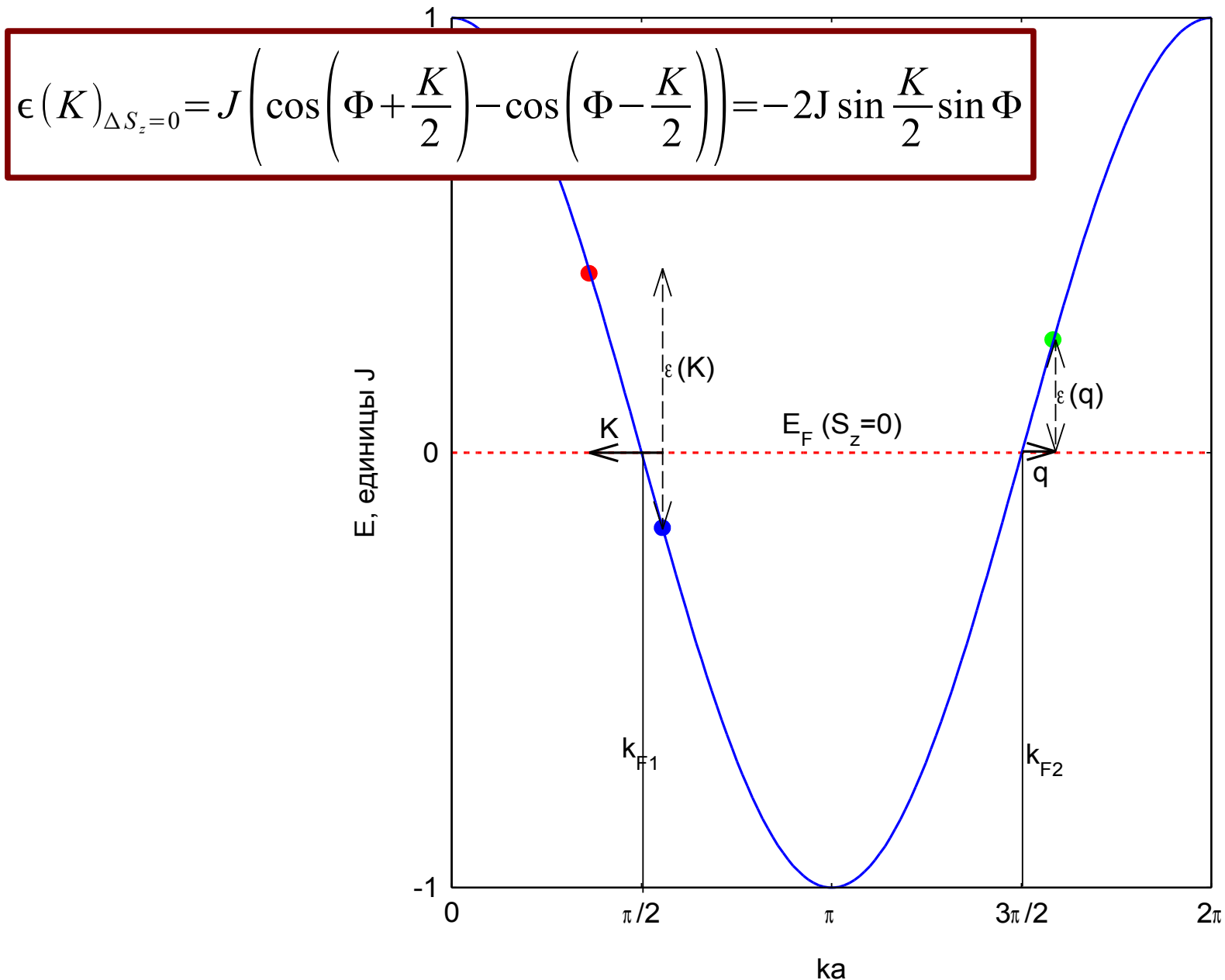
$$\hat{H}_{XXZ} = J \sum_n \left[\frac{1}{2} (c_n^+ c_{n+1} + c_n c_{n+1}^+) + \Delta \left(c_n c_n^+ - \frac{1}{2} \right) \left(c_{n+1} c_{n+1}^+ - \frac{1}{2} \right) \right] - g \mu_B H \sum_n \left(c_n^+ c_n - \frac{1}{2} \right)$$

свободные
частицы

взаимодействие

химпотенциал

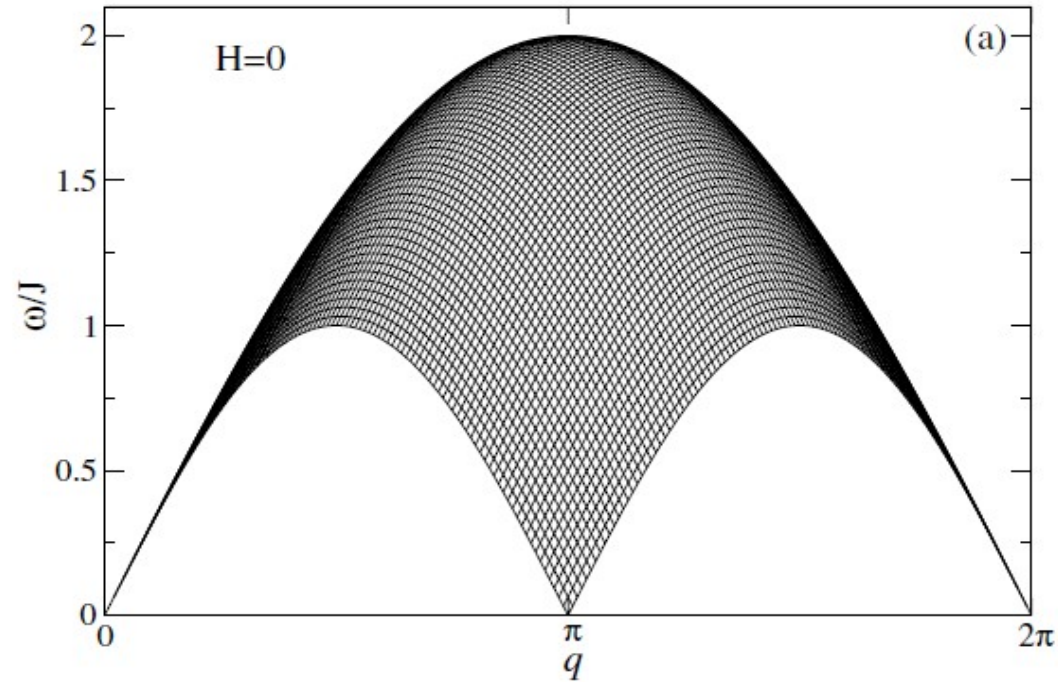
Фермионное представление основного состояния и возбуждений XY-модели



$$\epsilon_{\Delta S_z=1} = J |\sin q|$$

Спектр фермионов в антиферромагнитной XY-модели (синяя кривая). Красная пунктирная линия показывает энергию Ферми в случае $S_z=0$. Вблизи правой точки поверхности Ферми показано возбуждение в виде добавленной частицы, вблизи левой точки поверхности Ферми - в виде пары частица-дырка.

Двухчастичный континуум в XY-модели



Спектр возбуждений XY-гамильтониана в подпространстве $S_z=0$

H.J.Mikeska and A.K.Kolezhuk, One-Dimensional Magnetism, Lect. Notes Phys. , 645, 1-83 (2004)

$$E_{min} = J |\sin K| \leftarrow \text{совпадает с классическим антиферромагнетиком}$$
$$E_{max} = 2J \left| \sin \frac{K}{2} \right|$$